

· 论 著 · DOI:10.3969/j.issn.1672-9455.2024.24.016

右美托咪定上调 miR-126 对高糖诱导的足细胞增殖、凋亡及迁移的影响^{*}

王 飞¹, 杨欣宇^{1△}, 李 鑫²

1. 河北省保定市第二医院麻醉科,河北保定 071000;2. 河北省保定市清苑区妇幼保健院医疗美容科,河北保定 071100

摘要:目的 分析右美托咪定(Dex)上调微小核糖核酸(miR)-126 对高糖(HG)诱导的足细胞增殖、凋亡及迁移的影响。方法 体外培养人肾小球足细胞(HGPC),首先通过含 30 mmol/L D-葡萄糖的培养基刺激 HGPC 建立 HG 损伤模型,并分为 HG 组、25 nmol/L Dex 组、50 nmol/L Dex 组、100 nmol/L Dex 组、200 nmol/L Dex 组,后 4 组以 25、50、100、200 nmol/L Dex 分别进行干预,以 5 mmol/L D-葡萄糖干预作为对照(Con)组,24 h 后,筛选出干预细胞活力最佳 Dex 浓度;再将 HGPC 分为 Con 组、HG 组、mimic NC 组、miR-126 mimic 组、inhibitor NC 组及 miR-126 inhibitor 组,Con 组用 5 mmol/L D-葡萄糖进行干预,HG 组用 30 mmol/L D-葡萄糖进行干预,mimic NC 组、miR-126 mimic 组、inhibitor NC 组及 miR-126 inhibitor 组分别转染 mimic NC、miR-126 mimic、inhibitor NC 及 miR-126 inhibitor 片段至细胞后加入 30 mmol/L D-葡萄糖进行干预,24 h 后,测定细胞 miR-126 相对表达水平及细胞活力;随后将 HGPC 分为 Con 组、HG 组、Dex 组、Dex + miR-126 mimic 组、Dex + miR-126 inhibitor 组,Con 组用 5 mmol/L D-葡萄糖进行干预,HG 组用 30 mmol/L D-葡萄糖进行干预,Dex 组同时加入 30 mmol/L D-葡萄糖、最佳干预浓度的 Dex 进行干预,Dex + miR-126 mimic 组、Dex + miR-126 inhibitor 组分别转染 miR-126 mimic、miR-126 inhibitor 片段至细胞后同时加入 30 mmol/L D-葡萄糖、最佳干预浓度的 Dex 进行干预,24 h 后,检测细胞活力、凋亡、迁移及磷脂酰肌醇 3-激酶(PI3K)/丝氨酸-苏氨酸激酶(AKT)通路蛋白水平。结果 200 nmol/L 为 Dex 干预细胞活力的最佳浓度。与 Con 组比较,HG 组 HGPC 中 miR-126 相对表达水平及细胞活力降低($P < 0.05$);与 mimic NC 组比较,miR-126 mimic 组 HGPC 中 miR-126 相对表达水平及细胞活力升高($P < 0.05$);与 inhibitor NC 组比较,miR-126 inhibitor 组 HGPC 中 miR-126 相对表达水平及细胞活力降低($P < 0.05$)。与 Con 组比较,HG 组细胞凋亡率、迁移率升高,p-PI3K、p-AKT 蛋白相对表达水平降低($P < 0.05$);与 HG 组比较,Dex 组细胞凋亡率、细胞迁移率降低,miR-126 相对表达水平、细胞活力及 p-PI3K、p-AKT 蛋白相对表达水平升高($P < 0.05$);与 Dex 组比较,Dex + miR-126 mimic 组细胞凋亡率、细胞迁移率降低,细胞活力、p-PI3K、p-AKT 蛋白相对表达水平升高($P < 0.05$),Dex + miR-126 inhibitor 组则相反($P < 0.05$)。结论 Dex 可能通过上调 miR-126 促进 HG 诱导的足细胞增殖及 PI3K/AKT 通路活化,抑制细胞凋亡及迁移能力。

关键词:糖尿病肾病; 右美托咪定; 微小核糖核酸-126; 增殖; 凋亡; 磷脂酰肌醇 3-激酶; 丝氨酸-苏氨酸激酶

中图法分类号:R364.2;R578.2;R971.2

文献标志码:A

文章编号:1672-9455(2024)24-3663-06

Effects of dexmedetomidine up-regulation of miR-126 on cell proliferation, apoptosis and migration of podocyte induced by high glucose^{*}

WANG Fei¹, YANG Xinyu^{1△}, LI Xin²

1. Department of Anesthesiology, Baoding Second Hospital, Baoding, Hebei 071000, China;

2. Department of Medical Beauty, Baoding Qingyuan Maternal and Child Health Hospital, Baoding, Hebei 071100, China

Abstract: Objective To investigate the effects of micro ribonucleic acid (miR)-126 up-regulated by dexmedetomidine (Dex) on proliferation, apoptosis and migration of podocyte induced by high glucose (HG).

Methods Human glomerular podocyte (HGPC) was cultured in vitro and stimulated by medium containing 30 mmol/L D-glucose to establish HG injury model as HG group 25 nmol/L Dex group, 50 nmol/L Dex group, 100 nmol/L Dex group, 200 nmol/L Dex group, and then 25, 50, 100, 200 nmol/L Dex was used for in-

^{*} 基金项目:河北省卫生和计划生育委员会科研基金项目(202402031)。

作者简介:王飞,男,主治医师,主要从事临床麻醉等相关研究。△ 通信作者,E-mail:17330273732@163.com。

tervention respectively in the later 4 groups, and 5 mmol/L D-glucose intervention as control (Con) group, the optimal Dex concentration was selected after 24 h. HGPC cells were divided into Con group, HG group, mimic NC group, miR-126 mimic group, inhibitor NC group and miR-126 inhibitor group, the Con group was intervened with 5 mmol/L D-glucose, HG group was intervened with 30 mmol/L D-glucose, the cells in the mimic NC group, miR-126 mimic group, inhibitor NC group and miR-126 inhibitor respectively, 30 mmol/L D-glucose was added for intervention, after 24 h, the level of miR-126 and cell viability were measured. HGPC cells were then divided into Con group, HG group, Dex group, Dex + miR-126 mimic group and Dex + miR-126 inhibitor group, the Con group was intervened with 5 mmol/L D-glucose, the HG group was intervened with 30 mmol/L D-glucose, and the Dex group was intervened with 30 mmol/L D-glucose and the optimal concentration Dex, the cells in Dex + miR-126 mimic group and Dex + miR-126 inhibitor group were transfected with miR-126 mimic and miR-126 inhibitor respectively, and then 30 mmol/L D-glucose and the optimal concentration Dex were added intervention, after 24 h, cell viability, apoptosis, migration and phosphatidylinositol 3-kinase (PI3K)/serine-threonine kinase (AKT) pathway protein levels were measured. **Results** 200 nmol/L Dex was the optimal concentration to interfere with cell viability. Compared with those in the Con group, the level of miR-126 and cell viability of HGPC in HG group decreased ($P < 0.05$). Compared with those in the mimic NC group, the miR-126 level and cell viability increased in the miR-126 mimic group ($P < 0.05$), and compared with those in the inhibitor NC group, the miR-126 level and cell viability of HGPC decreased in the miR-126 inhibitor group ($P < 0.05$). Compared with those in the Con group, the apoptosis rate and mobility of HGPC in HG group increased, while the levels of p-PI3K and p-AKT decreased ($P < 0.05$). Compared with those in the HG group, the apoptosis rate and migration rate decreased significantly, and the level of miR-126, cell viability, p-PI3K and p-AKT levels increased in Dex group ($P < 0.05$). Compared with those in the Dex group, apoptosis rate and mobility of cells decreased in Dex + miR-126 mimic group, while cell viability, p-PI3K and p-AKT levels increased ($P < 0.05$), and the reverse was observed in Dex + miR-126 inhibitor group ($P < 0.05$). **Conclusion** Dex may up-regulate miR-126 to promote HG-induced podocyte proliferation and activation of PI3K/AKT pathway, and inhibit cell apoptosis and migration.

Key words: diabetic nephropathy; dexmedetomidine; micro ribonucleic acid-126; proliferation; apoptosis; phosphatidylinositol 3-kinase; serine-threonine kinase

糖尿病肾病是进行性肾脏疾病,是糖尿病常见并发症,整个治疗过程中,需进行透析或肾脏替代,患者痛苦大,家庭经济负担重^[1]。糖尿病肾病致病机制复杂,主要发病原因之一为足细胞损伤,其病理改变是糖尿病肾病发生、发展的关键因素,也是药物治疗的重要靶点^[2-3]。微小核糖核酸(miRNA/miR)是一类由18~25个核苷酸构成的内源性非编码单链核糖核酸(RNA)分子,其异常表达是一种表观遗传机制,可独立或联合遗传学在各种生理、病理环境下调控细胞的增殖、分化、转移和凋亡等生命过程,对糖尿病肾病的发生、发展起关键作用^[4],其中miR-126与许多疾病关系密切,但miR-126对人肾小球足细胞(HGPC)恶性表型的作用机制尚未全面揭秘。LIU等^[5]的研究表明,右美托咪定(Dex)可以抑制细胞炎症和细胞凋亡,对糖尿病肾病大鼠肾损伤具有保护作用,但机制尚不明确。磷脂酰肌醇-3-激酶(PI3K)/丝氨酸-苏氨酸激酶(AKT)是一种转导来自各种受体信号的通路,通过招募和激活先天免疫细胞来改变炎症反应^[6]。JIANG等^[7]发现PI3K/AKT信号通路是miR-126的下游靶点,在高糖(HG)诱导肾小管上皮

细胞损伤中具有抑制细胞凋亡和细胞活力的作用。因此,本研究旨在分析Dex及miR-126过表达对HGPC活力、凋亡、迁移能力的影响,并探讨PI3K/AKT信号通路在该过程中的角色。

1 材料与方法

1.1 细胞株来源 HGPC购自青旗(上海)生物技术发展有限公司。

1.2 仪器、药品与试剂 Molecular Devices型酶标仪购自上海邁鵬生物科技有限公司,TGL-16型离心机购自四川蜀科仪器有限公司,ABI 9700型PCR仪购自美国ABI公司,Invitrogen iBright凝胶成像系统购自广州赛默飞世尔科技有限公司。mimic NC、miR-126 mimic、inhibitor NC及miR-126 inhibitor片段由北京华大基因检测中心设计合成,Dex、D-葡萄糖购自上海源叶生物科技有限公司(纯度≥98%),脂质体2000转染试剂购自美国Invitrogen公司,细胞计数试剂(CCK-8)、Hoechst 33258染色液均来自生工生物工程(上海)股份有限公司,鼠抗人PI3K、p-PI3K、AKT、p-AKT、β-actin一抗及二抗,以及碱性磷酸酶(AP)标记的羊抗鼠IgG(H+G)均购自武汉三鹰生物

技术有限公司。完全培养基[10%胎牛血清(FBS)+100 U/mL 青霉素和 100 mg/L 链霉素的 DMEM]购自美国 Hyclone 公司。

1.3 方法

1.3.1 细胞培养 将 HGPC(≥80%密度)接种于完全培养基上,并将培养板或培养皿置于 37 °C、5% CO₂、70%~80% 湿度培养箱中培养。

1.3.2 分组与干预 首先以 5 mmol/L D-葡萄糖干预细胞为对照(Con)组,30 mmol/L D-葡萄糖刺激 24 h 构建 HG 损伤模型,并分为 HG 组、25 nmol/L Dex 组、50 nmol/L Dex 组、100 nmol/L Dex 组、200 nmol/L Dex 组,后 4 组分别加入 25、50、100、200 nmol/L Dex,每组重复 3 次后求平均值,24 h 后,采用 CCK-8 筛选出细胞活力最佳的 Dex 干预浓度用于后续实验。将 HGPC 分为 Con 组、HG 组、mimic NC 组、miR-126 mimic 组、inhibitor NC 组及 miR-126 inhibitor 组,Con 组用 5 mmol/L D-葡萄糖进行干预,HG 组用 30 mmol/L D-葡萄糖进行干预,mimic NC 组、miR-126 mimic 组、inhibitor NC 组及 miR-126 inhibitor 组是分别转染 mimic NC、miR-126 mimic、inhibitor NC 及 miR-126 inhibitor 片段至细胞后加入 30 mmol/L D-葡萄糖进行干预,每组重复 3 次后求平均值,24 h 后,检测细胞中 miR-126 表达水平、细胞活力,旨在验证 miR-126 的表达对 HG 损伤模型细胞活力的影响。再将 HGPC 分为 Con 组、HG 组、Dex 组、Dex+miR-126 mimic 组、Dex+miR-126 inhibitor 组,Con 组用 5 mmol/L D-葡萄糖进行干预,HG 组用 30 mmol/L D-葡萄糖进行干预,Dex 组同时加入 30 mmol/L D-葡萄糖、最佳干预浓度的 Dex 进行干预,Dex+miR-126 mimic 组、Dex+miR-126 inhibitor 组是分别转染 miR-126 mimic、miR-126 inhibitor 片段至细胞后同时加入 30 mmol/L D-葡萄糖、最佳干预浓度的 Dex 进行干预,每组重复 3 次后求平均值,24 h 后,对细胞中 miR-126 表达、细胞活力、凋亡、迁移及 p-PI3K、p-AKT、PI3K、AKT 表达情况进行检测,旨在验证 Dex 调控 miR-126 对 HG 损伤模型细胞活力、凋亡、迁移能力及 PI3K/AKT 通路相关蛋白表达的影响。

1.3.3 细胞活力 HGPC 接种于 96 孔板中,接种密度为 1×10^4 个/孔。分别按照 Con 组、HG 组、25 nmol/L Dex 组、50 nmol/L Dex 组、100 nmol/L Dex 组、200 nmol/L Dex 组;Con 组、HG 组、mimic NC 组、miR-126 mimic 组、inhibitor NC 组及 miR-126 inhibitor 组;Con 组、HG 组、Dex 组、Dex+miR-126 mimic 组、Dex+miR-126 inhibitor 组进行干预。分别加药处理 24 h 后,各孔加入 10 μL CCK-8 溶液;细胞与 CCK-8 在 37 °C、5% CO₂ 培养箱中孵育培养 2 h 后,在酶标仪上检测各孔细胞在 450 nm 处的光密度(OD450)值,计算细胞活力。细胞活力(%)=OD

值_{待测组}/OD 值_{Con 组} × 100%。

1.3.4 实时荧光定量聚合酶链反应 采用总 RNA 提取试剂盒提取各组干预后的细胞总 RNA,在 ABI 9700 型聚合酶链反应仪上反转录扩增 cDNA,并分析其溶解曲线和扩增曲线。三步聚合酶链反应程序如下:94 °C 5 min,94 °C 38 s,57 °C 35 s,72 °C 40 s,并设置上述程序为 40 个循环。以 U6 为内参,根据循环数(Ct)和 $2^{-\Delta Ct}$ 法计算 miR-126 相对表达水平。引物序列见表 1。

表 1 引物序列

基因	引物序列(5'-3')	引物长度 (bp)
miR-126	F:5'-GGCTTCGTACCGTGAGTAAT -3'	20
	R:5'-GTGCAGGGTCCGAGGT-3'	16
U6	F:5'-CTCGCTTCGGCAGCAC-3'	17
	R:5'-AACGCTTCACGAATTGCGT-3'	20

注:F 表示正向引物,R 表示反向引物。

1.3.5 Hoechst 33258 染色 将 HGPC 接种于 24 孔板,当细胞密度达到 80% 时,按照 Con 组、HG 组、Dex 组、Dex+miR-126 mimic 组、Dex+miR-126 inhibitor 组进行干预,24 h 后,HGPC 与 30 mmol/L Hoechst 33258 工作液避光孵育 10 min。Hoechst 33258 荧光信号在荧光显微镜下观察并拍照。高强蓝色信号为凋亡细胞,低弱蓝色信号为正常细胞。细胞凋亡率为凋亡细胞数占总细胞数的百分比。

1.3.6 划痕试验 按照 Con 组、HG 组、Dex 组、Dex+miR-126 mimic 组、Dex+miR-126 inhibitor 组干预 24 h 后,用 20 μL 无菌吸头在细胞表面力道均匀、垂直地画一道线,并用磷酸盐缓冲液(PBS)清洗掉脱落的细胞;剩余的贴壁细胞在无血清的完全培养基中继续培养 24 h。显微镜下(4×)采集 0 h 和 24 h 的划痕图,并用 Image J1.8.0 软件分析划痕面积(S),间接反映细胞迁移性。迁移率(%)=[(S_{0 h}-S_{24 h})/S_{0 h}]×100%。

1.3.7 蛋白免疫印迹法(Western Blot)检测 PI3K/AKT 通路相关蛋白水平 细胞接种于 6 孔板,接种密度为 1×10^5 个/孔。按照 Con 组、HG 组、Dex 组、Dex+miR-126 mimic 组、Dex+miR-126 inhibitor 组干预 24 h 后,被 RIPA 裂解液重悬并裂解;在 4 °C 条件下,以 12 000 r/min 转速离心 10 min 后收集上清液,即总蛋白样品。蛋白样品先经过十二烷基硫酸钠-聚丙烯酰胺凝胶电泳(80~120 V 恒压法)进行蛋白分离,再经过电泳法(300 mA 恒流法)进行蛋白转膜。载有蛋白的聚偏二氟乙烯(PVDF)膜在 50 g/L 脱脂牛奶中室温封闭 1 h 后,在 4 °C 环境下进行一抗(p-PI3K、p-AKT、PI3K、AKT)孵育过夜或室温一抗孵育 2 h;接下来,进行室温二抗孵育 2 h。封闭、一抗孵育、二抗孵育和显影之间分别用 Tris 洗膜缓冲液进行 3~5 次膜洗涤。使用凝胶成像系统拍照记录,并用

ImageJ1.8.0 软件进行蛋白灰度值分析,蛋白相对表达水平为目的蛋白灰度值与 β -actin 灰度值的比值。

1.4 统计学处理 采用 GraphPad Prism 8 软件作图。采用 SPSS25.0 软件进行数据处理及统计分析。符合正态分布的计量资料以 $\bar{x} \pm s$ 表示,多组间比较采用单因素方差分析,多组间中的两两比较采用 Dunnett's *t* 检验。以 $P < 0.05$ 为差异有统计学意义。

2 结 果

2.1 Dex 对 HG 诱导的 HGPC 活力的影响 Con 组、HG 组、25 nmol/L Dex 组、50 nmol/L Dex 组、100 nmol/L Dex 组、200 nmol/L Dex 组的细胞活力分别为 $(100.00 \pm 5.05)\%$ 、 $(35.78 \pm 4.74)\%$ 、 $(45.31 \pm 6.23)\%$ 、 $(64.99 \pm 5.92)\%$ 、 $(75.93 \pm 6.55)\%$ 、 $(87.82 \pm 6.95)\%$ 。与 Con 组比较, HG 组细胞活力降低,差异有统计学意义($P < 0.05$);与 HG 组比较, 25 nmol/L Dex 组、50 nmol/L Dex 组、100 nmol/L Dex 组、200 nmol/L Dex 组细胞活力上升,差异均有统计学意义($P < 0.05$); 200 nmol/L Dex 组细胞活力最高,所以选择 200 nmol/L 为 Dex 最佳浓度。

2.2 miR-126 对 HG 诱导的 HGPC miR-126 相对表达水平及细胞活力的影响 与 Con 组比较, HG 组 HGPC 中 miR-126 相对表达水平及细胞活力降低,差异均有统计学意义($P < 0.05$);与 mimic NC 组比较, miR-126 mimic 组 HGPC 中 miR-126 相对表达水平及细胞活力升高,差异均有统计学意义($P < 0.05$)。与 inhibitor NC 组比较, miR-126 inhibitor 组 HGPC 中 miR-126 相对表达水平及细胞活力降低,差异均有统计学意义($P < 0.05$)。见表 2。

2.3 Dex 上调 miR-126 对 HG 诱导的 HGPC miR-126 相对表达水平及细胞活力的影响 与 Con 组比较, HG 组 HGPC 中 miR-126 相对表达水平及细胞活力降低,差异均有统计学意义($P < 0.05$);与 HG 组比较, Dex 组 HGPC 中 miR-126 相对表达水平及细胞活力升高,差异均有统计学意义($P < 0.05$);与 Dex 组比较, Dex+miR-126 mimic 组 HGPC 中 miR-126

相对表达水平及细胞活力升高,差异均有统计学意义($P < 0.05$), Dex+miR-126 inhibitor 组 HGPC 中 miR-126 相对表达水平及细胞活力降低,差异均有统计学意义($P < 0.05$)。见表 3。

2.4 Dex 上调 miR-126 对 HG 诱导的 HGPC 凋亡率的影响 Con 组、HG 组、Dex 组、Dex+miR-126 mimic 组、Dex+miR-126 inhibitor 组的细胞凋亡率分别为 $(5.38 \pm 1.12)\%$ 、 $(38.85 \pm 6.13)\%$ 、 $(18.83 \pm 5.16)\%$ 、 $(9.18 \pm 1.85)\%$ 、 $(32.42 \pm 4.03)\%$ 。HG 组细胞凋亡率高于 Con 组,Dex 组细胞凋亡率低于 HG 组,差异均有统计学意义($P < 0.05$);与 Dex 组比较, Dex+miR-126 mimic 组细胞凋亡率降低,Dex+miR-126 inhibitor 组细胞凋亡率升高,差异均有统计学意义($P < 0.05$)。见图 1。

表 2 miR-126 对 HG 诱导的 HGPC miR-126 相对表达水平及细胞活力的影响($\bar{x} \pm s, n=3$)

组别	miR-126	细胞活力(%)
Con 组	1.00 ± 0.06	100.00 ± 6.93
HG 组	0.46 ± 0.09^a	39.37 ± 5.18^a
mimic NC 组	0.44 ± 0.11	38.85 ± 5.24
miR-126 mimic 组	0.80 ± 0.07^d	61.62 ± 3.59^d
inhibitor NC 组	0.45 ± 0.07	40.23 ± 6.52
miR-126 inhibitor 组	0.23 ± 0.04^e	24.52 ± 2.66^e
F	40.555	78.941
P	<0.001	<0.001

注:与 Con 组比较,^a $P < 0.05$;与 mimic NC 组比较,^d $P < 0.05$;与 inhibitor NC 组比较,^e $P < 0.05$ 。

表 3 Dex 上调 miR-126 对促进 HG 诱导的 HGPC miR-126 相对表达水平及细胞活力的影响($\bar{x} \pm s, n=3$)

组别	miR-126	细胞活力(%)
Con 组	1.00 ± 0.10	100.00 ± 7.01
HG 组	0.48 ± 0.11^a	41.05 ± 5.23^a
Dex 组	0.65 ± 0.13^b	65.34 ± 6.17^b
Dex+miR-126 mimic 组	0.83 ± 0.06^c	84.79 ± 8.31^c
Dex+miR-126 inhibitor 组	0.48 ± 0.10^e	43.53 ± 5.14^e
F	14.649	47.000
P	<0.001	<0.001

注:与 Con 组比较,^a $P < 0.05$;与 HG 组比较,^b $P < 0.05$;与 Dex 组比较,^c $P < 0.05$ 。

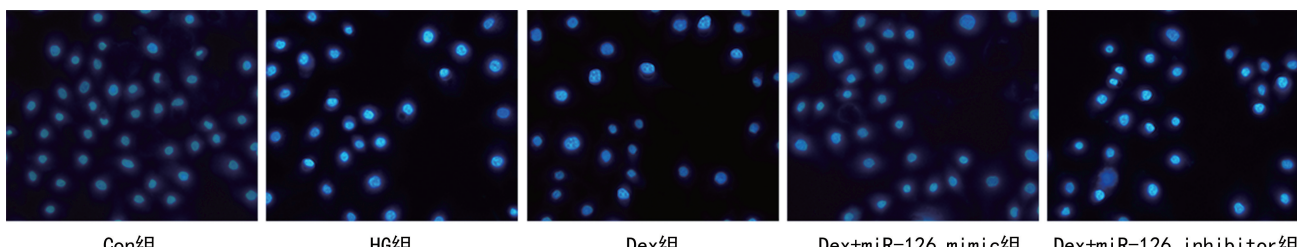


图 1 各组 HGPC 凋亡情况

2.5 Dex 上调 miR-126 对 HG 诱导的 HGPC 迁移的影响 Con 组、HG 组、Dex 组、Dex+miR-126

mimic 组、Dex+miR-126 inhibitor 组的细胞迁移率分别为 $(18.17 \pm 3.09)\%$ 、 $(43.87 \pm 5.74)\%$ 、

(21.84±3.37)%、(11.33±2.76)%、(34.68±3.58)%。与 Con 组比较, HG 组细胞迁移率升高, 差异有统计学意义($P<0.05$); 与 HG 组比较, Dex 组细胞迁移率降低, 差异有统计学意义($P<0.05$); 与 Dex

组比较, Dex+miR-126 mimic 组细胞迁移率降低, 差异有统计学意义($P<0.05$), Dex+miR-126 inhibitor 组细胞迁移率升高, 差异有统计学意义($P<0.05$)。见图 2。

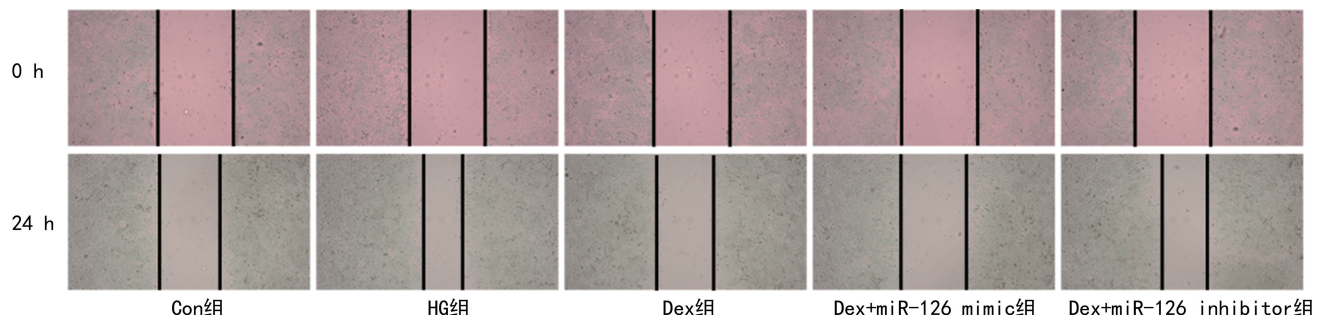


图 2 各组 HGPC 迁移情况

2.6 Dex 上调 miR-126 对 HG 诱导的 HGPC PI3K/AKT 通路活化的影响 与 Con 组比较, HG 组 HG-PC 中 p-PI3K、p-AKT 蛋白相对表达水平降低, 差异均有统计学意义($P<0.05$); 与 HG 组比较, Dex 组 HGPC 中 p-PI3K、p-AKT 蛋白相对表达水平升高, 差异均有统计学意义($P<0.05$); 与 Dex 组比较, Dex+miR-126 mimic 组 HGPC 中 p-PI3K、p-AKT 蛋白相对表达水平升高, 差异均有统计学意义($P<0.05$), 而 Dex+miR-126 inhibitor 组 HGPC 中 p-PI3K、p-AKT 蛋白相对表达水平降低, 差异均有统计学意义($P<0.05$)。见表 4、图 3。

表 4 Dex 上调 miR-126 对 HG 诱导的 HGPC PI3K/AKT 通路相关蛋白水平的影响($\bar{x}\pm s, n=3$)

组别	p-PI3K	p-AKT
Con 组	0.53±0.02	0.62±0.04
HG 组	0.25±0.07 ^a	0.24±0.04 ^a
Dex 组	0.42±0.04 ^b	0.52±0.09 ^b
Dex+miR-126 mimic 组	0.68±0.09 ^c	0.72±0.06 ^c
Dex+miR-126 inhibitor 组	0.16±0.05 ^c	0.34±0.04 ^c
F	37.603	35.382
P	<0.001	<0.001

注: 与 Con 组比较,^a $P<0.05$; 与 HG 组比较,^b $P<0.05$; 与 Dex 组比较,^c $P<0.05$ 。

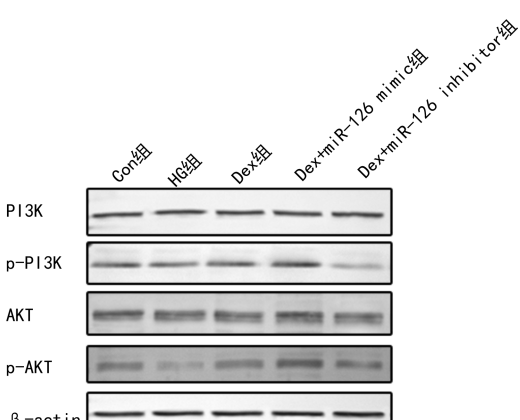


图 3 各组 PI3K/AKT 通路相关蛋白表达情况

3 讨 论

糖尿病肾病是糖尿病的常见并发症, 其特征是尿液中蛋白质排泄率增加和肾功能丧失^[8-9]。目前, 糖尿病肾病主要通过饮食调节、控糖、控血压、控血脂等治疗以延缓早期疾病进展, 晚期患者主要采用透析和肾移植治疗, 但预后不佳、不良反应大, 开发新的药物尤为迫切^[10]。足细胞损伤是原发性肾小球疾病的主要病理特点, 可导致大量蛋白尿和肾功能衰竭^[11]。本研究在体外利用 HG 诱导肾小球足细胞进行造模, 模拟糖尿病肾病^[12]。目前为止, 尚无有效治疗糖尿病肾病的方法。Dex 是一种强效且高度选择性的跨膜 G 蛋白偶联 $\alpha 2$ 肾上腺素受体激动剂, 临幊上常用于缓解疼痛, 同时还通过抑制炎症因子的释放而发挥抗炎的作用, Dex 具有减轻糖尿病小鼠肾损伤的作用^[13-14]。miRNA 主要是通过与靶基因信使 RNA 3' 端非编码区进行碱基配对, 引起靶标 mRNA 降解或翻译抑制, 从而参与真核生物的生理、病理过程^[15]。QIU 等^[16]研究发现, miR-126-5p 上调可降低 HG 处理的人系膜细胞中的炎症、氧化应激和细胞外基质积累。本研究结果显示, 200 nmol/L Dex 是增强 HG 诱导的 HGPC 活力的最佳浓度。与 Con 组比较, HG 组 HGPC miR-126 相对表达水平及细胞活力降低($P<0.05$); 与 mimic NC 组比较, miR-126 mimic 组 miR-126 水平及细胞活力升高, 与 inhibitor NC 组比较, miR-126 inhibitor 组 miR-126 水平及细胞活力降低($P<0.05$), 提示 miR-126 mimic 和 miR-126 inhibitor 转染成功, 且 miR-126 mimic 可以增强 HG 诱导的 HGPC 细胞活力。与 Con 组比较, HG 组细胞凋亡率、细胞迁移率升高($P<0.05$)。Dex 组扭转了 HG 对 HGPC 的上述作用, 说明 Dex 可促进 HG 诱导的 HGPC 增殖, 抑制细胞凋亡及迁移能力。

PI3K/AKT 信号通路与多种细胞的生长与分化相关, 可以调节细胞增殖、分化、代谢, 与糖尿病肾病、恶性肿瘤等多种疾病的发生、发展有关^[17], 且有研究

显示,PI3K/AKT 信号通路与糖尿病肾病足细胞损伤的保护机制息息相关^[18]。miR-126 是近几年研究较为广泛的 miRNA,被发现其在糖尿病肾病炎症细胞中可增强细胞活力,抑制细胞凋亡^[19]。现有研究表明,Dex 减轻糖尿病小鼠肾损伤的机制可能与下调 miR-34a 表达,进而降低氧化应激水平有关^[20]。但 Dex 对糖尿病肾病细胞损伤的作用机制及与 miR-126 表达的关系目前仍不清晰。本研究结果显示,与 Con 组比较,HG 组 HGPC 中 p-PI3K、p-AKT 蛋白相对表达水平降低($P < 0.05$),Dex 组扭转了 HG 对 HGPC 的上述作用;与 Dex 组比较,Dex+miR-126 mimic 组细胞凋亡率、细胞迁移率降低,细胞活力及 p-PI3K、p-AKT 蛋白相对表达水平升高($P < 0.05$),Dex+miR-126 inhibitor 组则相反。提示 Dex 可能促进了 PI3K/AKT 通路的激活过程,Dex 和 miR-126 过表达联合后可促进 HG 诱导的 HGPC 活力,抑制细胞凋亡和迁移,与 LOU 等^[21]的研究中 miR-126 过表达可明显抑制体外糖尿病肾病细胞凋亡和抑制炎症,并诱导体外糖尿病肾病组织中 PI3K 和 p-AKT 蛋白表达这一结论相符合。

综上所述,Dex 可能通过上调 miR-126 促进 HG 诱导的足细胞增殖及 PI3K/AKT 通路活化,抑制细胞凋亡及迁移能力。本研究发现,Dex 具有抑制糖尿病肾病足细胞炎症损伤的作用,提示 Dex 在临床应用中具有良好的应用前景,下一步应研究 Dex 是否可调控其他 miRNA 影响糖尿病肾病疾病的进程,为药物干预/靶向 miRNA 在糖尿病肾病的基础研究提供参考。

参考文献

- [1] 王莹,周静威,王珍,等.糖尿病肾病中西医治疗进展[J].中国全科医学,2022,25(12):1411-1417.
- [2] LI X, LU L, HOU W, et al. Epigenetics in the pathogenesis of diabetic nephropathy[J]. Acta Biochim Biophys Sin (Shanghai), 2022, 54(2): 163-172.
- [3] 莫梓沂,刘畅,薛世圆,等.糖尿病肾病发病机制及治疗的研究进展[J].局解手术学杂志,2021,30(12):1093-1098.
- [4] MA J, WANG Y, XU H T, et al. MicroRNA: a novel biomarker and therapeutic target to combat autophagy in diabetic nephropathy [J]. Eur Rev Med Pharmacol Sci, 2019, 23(14):6257-6263.
- [5] LIU Y T, LIU W, WAN Z H, et al. Protective effect of dexmedetomidine against renal injury in diabetic nephropathy rats through inhibiting NF-κB pathway[J]. Eur Rev Med Pharmacol Sci, 2020, 24(22):11865-11870.
- [6] TANG G, DU Y, GUAN H, et al. Butyrate ameliorates skeletal muscle atrophy in diabetic nephropathy by enhancing gut barrier function and FFA2-mediated PI3K/Akt/mTOR signals[J]. Br J Pharmacol, 2022, 179 (1): 159-178.
- [7] JIANG Q, YANG T, ZOU Y, et al. LncRNA HOX transcript antisense RNA mediates hyperglycemic-induced injury in the renal tubular epithelial cell via the miR-126-5p/Akt axis[J]. Aging Med (Milton), 2023, 6 (4): 427-434.
- [8] KOCH E T, NAKHOUL R, NAKHOUL F, et al. Autophagy in diabetic nephropathy: a review [J]. Int Urol Nephrol, 2020, 52(9):1705-1712.
- [9] BONNER R, ALBAJRAMI O, HUDSPETH J, et al. Diabetic kidney disease[J]. Prim Care, 2020, 47(4):645-659.
- [10] 李佳颖,钟智威,蒋红双.糖尿病肾病治疗进展[J].右江医学,2022,50(7):542-546.
- [11] 吴其晶,杨倩倩.足细胞衰老与肾小球疾病[J].肾脏病与透析移植杂志,2023,32(5):472-476.
- [12] 金山祥,马林,韩笑.高糖刺激对人足细胞 miR-34a 和相关蛋白表达的影响[J].解剖科学进展,2019,25(5):570-574.
- [13] GAERTNER J, FUSI-SCHMIDHAUSER T. Dexmedetomidine: a magic bullet on its way into palliative care-a narrative review and practice recommendations[J]. Ann Palliat Med, 2022, 11(4):1491-1504.
- [14] 余佳潞,王圣钊,李元耀,等. SIRT1 及其相关 miRNAs 在右美托咪定减轻糖尿病小鼠肾损伤中的作用[J].中华麻醉学杂志,2022,42(7):872-877.
- [15] VAGHF A, KHANSARINEJAD B, GHAZNAVI-RAD E, et al. The role of microRNAs in diseases and related signaling pathways[J]. Mol Biol Rep, 2022, 49(7):6789-6801.
- [16] QIU B, QI X, WANG J. CircTLK1 downregulation attenuates high glucose-induced human mesangial cell injury by blocking the AKT/NF-κB pathway through sponging miR-126-5p/miR-204-5p[J]. Biochem Genet, 2022, 60 (5):1471-1487.
- [17] XU F, NA L, LI Y, et al. Roles of the PI3K/AKT/mTOR signalling pathways in neurodegenerative diseases and tumours[J]. Cell Biosci, 2020, 10(1):54.
- [18] 鲁庆红,李益明,王志芳,等.香豆素苷通过 PI3K/AKT/mTOR 通路保护糖尿病肾病大鼠足细胞损伤的机制研究[J].医学分子生物学杂志,2022,19(2):151-156.
- [19] GONZÁLEZ-PALOMO A K, PÉREZ-VÁZQUEZ F J, MÉNDEZ-RODRÍGUEZ K B, et al. Profile of urinary exosomal microRNAs and their contribution to diabetic kidney disease through a predictive classification model [J]. Nephrology (Carlton), 2022, 27(6):484-493.
- [20] 余佳潞,王圣钊,李元耀,等. SIRT1 及其相关 miRNAs 在右美托咪定减轻糖尿病小鼠肾损伤中的作用[J].中华麻醉学杂志,2022,42(7):872-877.
- [21] LOU Z, LI Q, WANG C, et al. The effects of microRNA-126 reduced inflammation and apoptosis of diabetic nephropathy through PI3K/AKT signalling pathway by VEGF[J]. Arch Physiol Biochem, 2022, 128 (5): 1265-1274.